

千葉県。正員 佐藤 恒明
東北大 正員 倉西 茂

序論

各種型式のアーチ橋の耐荷力については、最近多くの研究が発表され、その特性も可成り知られる様になつた。また実用設計計算式も提出されといふ。しかし補剛アーチとなりと未だ充分な研究がなされていないようと思われる。補剛アーチにおいては、その耐荷力は、補剛桁とアーチリブとの重ねばり的な性質と、支柱間でのアーチリブの局部崩壊によって定づくる。前者はエヒンザアーチの耐荷力に対応してどのように耐荷力を表現すべきかという点に、後者は特にアーチリブがアーチ軸線に合わせて連續的に湾曲しつくられてい場合にアーチリブの支柱間で曲げと軸力を受ける初期たわみのある柱としての耐荷力がどのようなものであるかという点に問題がある。ここでは上路式の補剛アーチを取り扱つて、下路式の場合には全体として大きな座屈強度をもつてゐることが知られており、重ねばりとしての性質に変形の影響が大きいことが想像される。局部座屈に関しては本論文の結果は準用されよう。

解析方法

ここで用いに解析方法は土論集No.272に発表したものと原理的には同じものである。支柱に関しては、座屈および塑性化の影響は考慮していない。アーチ断面はボックス断面とし、補剛桁断面は工形断面とし、それぞれ数値解析に当つて36要素、25要素に断面を分割した。予備計算の結果、補剛桁、アーチ共支柱間で5要素に分割した。

数値解析結果

数値解析を行つたのは図-1に示すような $f/\ell = 0.15$ 、ス

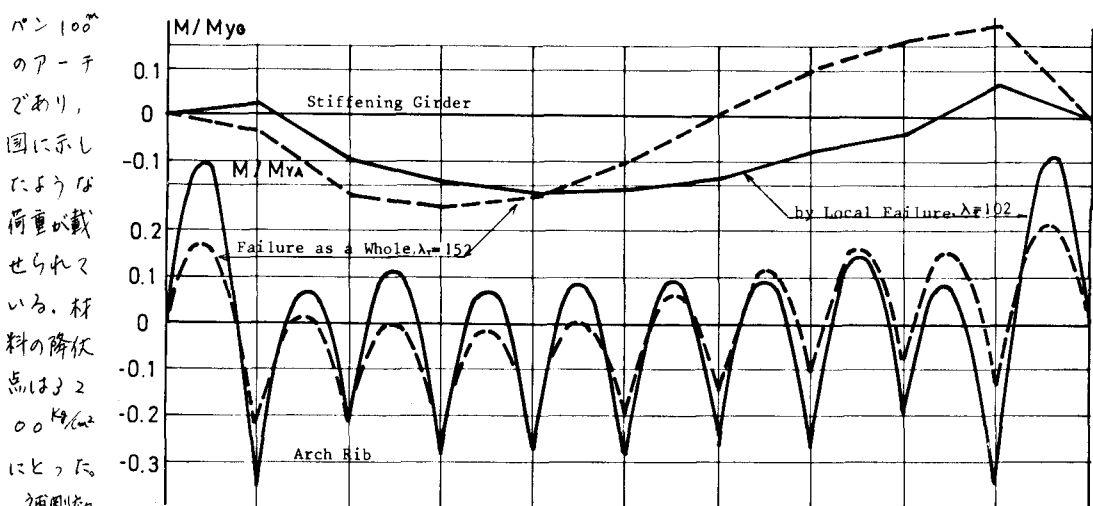


Fig. 2 Bending Moment Diagram Just before Ultimate State

ために、アーチリブの断面を一定とし、補剛桁の断面を増加させて行く方法をとった。基準となるアーチの細長比入は $1/98, 248, 297, 446, 594$ である。荷重状態として、図-1の $S = 0.5$ と 0.99 の2種を選んだ。

図-2は $S = 0.5$ と 0.99 の場合の崩壊直前の曲げモーメント図である。 $S = 0.5$ の場合は補剛桁は逆対称形の変形を示している。

アーチリブにはこれに格間での部材弯曲の影響が入って来ていることが分かる。 $S = 0.99$ になると、格間での弯曲の影響が大きくなり、右側支点での格間でアーチが局部的に崩壊するに至る。図-3は右側格間での変形の様子を示したもので、荷重の増大と共にアーチリブが格間で大きな変形を示して崩壊していることが分かる。

図-4は補剛アーチの細長比を

$$\lambda_T = \sqrt{(I_G + I_A)/A_A} / L_T$$

I_G : 補剛桁断面2次モーメント, I_A : アーチリブ断面2次モーメント, A_A : アーチリブ断面積, L_T : アーチリブ全長

で表わし、その耐荷力特性を示したものである。

アーチリブの局部座屈が生じない場合はエヒンゲアーチのそれとよく一致している。荷重が等分布に近くなると、ある剛度以上の補剛桁をもつてのものは局部崩壊によって耐荷力が決まることが分かる。図中10格間と8格間とあるのは、解析した補剛アーチの格間数を表わし、8格間の方が部材長が長くなり弱くなる。残留応力を考慮した場合と考慮しない場合の計算も行ったが、局部座屈では $\lambda_T = 200$ おり、 $S = 0.5$ では全体的に残留応力の影響を受けることが観える。一般にアーチは逆対称分布の荷重に弱いが、補剛アーチの場合には、これは局部座屈との関係で定まつて来る。

図-5は端部材を柱として考えたときの耐荷力曲線で、両端ピンの柱より耐荷力が低下することが分かる。これは格間を直線とするよりも防げる。

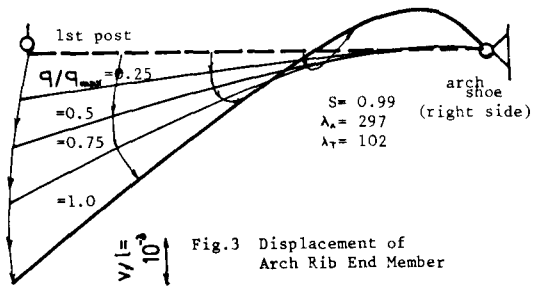


Fig.3 Displacement of Arch Rib End Member

q_{max}/q_n

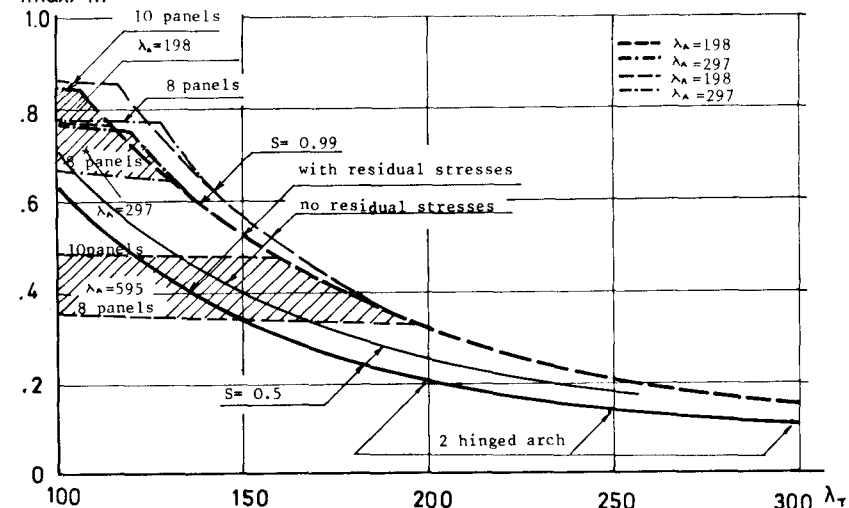


Fig.4 Ultimate Strength Curve of Stiffening Arch

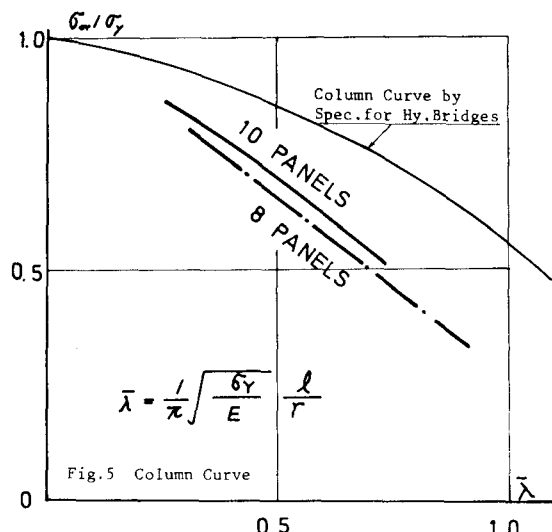


Fig.5 Column Curve